PERFORMANCE ANALYSIS AND CONTROL OF A REDUCED SWITCH MULTILEVEL INVERTER FED PERMANENT MAGNET SYNCHRONOUS MOTOR DRIVE

POONAM JAYAL

DEPARTMENT OF ELECTRICAL ENGINEERING

INDIAN INSTITUTE OF TECHNOLOGY DELHI

DECEMBER 2020

PERFORMANCE ANALYSIS AND CONTROL OF A REDUCED SWITCH MULTILEVEL INVERTER FED PERMANENT MAGNET SYNCHRONOUS MOTOR DRIVE

by

POONAM JAYAL

Department of Electrical Engineering

Submitted

in fulfillment of the requirements of the degree of DOCTOR OF PHILOSOPHY

to the

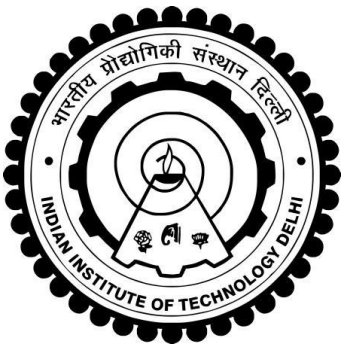

INDIAN INSTITUTE OF TECHNOLOGY DELHI

DECEMBER 2020

CERTIFICATE

This is to certify that the dissertation titled "**Performance Analysis and Control of a Reduced Switch Multilevel Inverter Fed Permanent Magnet Synchronous Motor Drive**", being submitted by **Ms. Poonam Jayal** to the Department of Electrical Engineering, Indian Institute of Technology Delhi, for the award of the degree of Doctor of Philosophy, is a record of the bonafide research work carried out by her under my guidance and supervision.

Ms. Poonam Jayal has fulfilled the requirements for the submission of this thesis, which to my knowledge has reached the requisite standard. The results obtained herein have not been submitted in part or in full to any other University or Institute for the award of any degree.

Professor **G. Bhuvaneswari**
Department of Electrical Engineering
Indian Institute of Technology Delhi
New Delhi-110016, India

Date: 15.09.2020

ACKNOWLEDGEMENTS

At the outset, I would like to express my heartfelt thanks to the almighty for blessing me with this much awaited day when I have finally got the opportunity to pen down my feelings of gratitude and accomplishment to mark the culmination of this wonderful five year long journey.

My foremost and deepest gratitude to **Prof. G. Bhuvaneswari** for not only being my PhD supervisor, but also my mentor and a great pillar of strength. Working under her supervision has been a privilege and honour. Her resourceful inputs, excellent foresight, willingness to pay heed to my ideas and complementing them with her thoughtful suggestions, have been immensely useful during my course of research. I am grateful and deeply indebted to her for constantly motivating and imbibing in me the true research acumen. I have been genuinely blessed to have her in a pivotal role in this 'wonderful' journey.

I would also like to sincerely thank all the SRC members **Dr. Ramkrishan Maheshwari, Dr. Anandarup Das, a**nd **Dr. Ashu Verma** for providing me their valuable insights, suggestions and encouragement throughout my research work.

My heartfelt thanks to late **Prof. K R. Rajagopal**, my former supervisor, for identifying my research potential and entrusting me with this great responsibility. It was truly unfortunate to lose him in the early years of my research. He will always be missed!

I am thankful to IIT Delhi for providing the research facilities and **Visveswaraya PhD Scheme** supported by Department of Electronics and Information Technology **(DEITY)** for providing my research fellowship.

. Thanks are due to **Sh. Srichand**, **Sh. Puran Singh, Sh. Jitendra Kumar** and **Sh. Jagbir Singh** of PG Machines Lab and Departmental Workshop and **Sh. Dhan Raj Singh** and late **Sh. Suresh Chand** of UG Machines Lab, IIT Delhi, for their sustained help and for providing me the facilities to carry out my experimental work.

My journey at IIT Delhi would have been incomplete without the wonderful camaraderie that I shared with some of my research scholar and M.Tech friends. I would like to extend special thanks to my fellow research scholars **Mr. Sreejith Ravindran, Ms. Nibedita Parida, Mr. Deepu Vijay M, Mr. Pradyumna Ranjan Ghosh, Ms. Swagata Mapa, Ms. Samiksha Rawat, Mr. Saurabh Shukla, Mr. Rupam Basak and Mr. Tassaduq Hussain** for their indispensable technical as well as moral support. I would also like to thank my friends, **Mr. Sourabh Khandelwal, Ms. Kartika Haridas, Mr. Harsha Vardhan, Mr. Narsimhulu, Mr. Vishal, Mr. Ebin Mathew, Ms Neha Beniwal, Ms. Chestha Jain, Mr. Sritam Jena, Ms. Nidhi Bisht, Mr. Rajat , Mr. Rahul Sharma, Mr. Sukrashis, Ms. Nidhi Mishra, Dr. Shadab Murshid and Dr. Saurabh Shukla** for their tremendous love and support.

This long journey would have been impossible without the love and support of my family members. My foremost and deepest thanks to my father late **Sh. Dinesh Chandra Nautiyal** and my mother **Ms. Bhawani Nautiyal** for their unconditional love and blessings and for inspiring me to pursue my passions in life. I owe special thanks to my beloved husband, **Mr. Vipul Jayal**, for having faith in my capabilities and for always inspiring me to think big and do better. These five years of our long-distance relationship, owing to my PhD, will truly remain as a memorable experience of our lives. A huge

appreciation to my lovely kids **Vihaan** and **Nandini** for always being my bundles of joy, giving me that inner sense of complacency, which has always been a morale booster. My heartfelt thanks to my father-in-law **Sh. Harish Chandra Jayal**, my mother-in-law **Ms. Shanti Jayal** and my brother-in-law **Mr. Vaibhav Jayal** for be ing with me through thick and thin and providing me their constant love and moral support. Last but not the least, special thanks to my beautiful and loving sisters **Ms. Kanchan Chamola** and **Dr. Bhavana Nautiyal** for being there for me always!

I pray the Almighty for His benediction in my future endeavors too.

(Poonam Jayal)

New Delhi:15.09.2020

2015EEZ8301

ABSTRACT

Adjustable speed drives (ASDs) have emerged as the work horses of industries with a perspective of making the industrial processes more efficient and controllable. Permanent magnet synchronous motor (PMSM) drives are gradually emerging as the first choice of the ASD markets competing with variable speed induction motor and DC motor drives, due to their multifarious advantages like compact rotor structure, high power density, absence of rotor losses, better efficiency and excellent controllability. The advent of high-power semiconductor devices and power converter circuits controlled by high speed microprocessors have enabled PMSM drives to come a long way for low power servo applications ranging from 0.1kW to 10kW, and for high power applications up to 250kW.

Field oriented control (FOC) and direct torque control (DTC) are two important control techniques adopted for achieving speed and torque control in AC motor drives, mostly driven by a 2-level voltage source inverter. However, at higher power levels multi-level inverters (MLI) are employed to feed the motor drive in order to reduce the (dv/dt) stress across the power devices and to obtain a reasonably good response even with lower switching frequencies. Renowned MLI topologies such as neutral point clamped inverter (NPC), cascaded H bridge inverter (CHB) and flying capacitor inverter use too many devices and active and passive elements. In this context reduced switch MLIs prove to be meritorious over the conventional MLI topologies in terms of being cost-effective and more reliable (due to the reduced number of elements). Several modulation schemes exist for controlling the magnitude and harmonic content of the output voltage in any MLI; space vector pulse width modulation (SVPWM) being the most desirable with its property

of imparting better DC bus utilization and lesser harmonic content in the output even at a lower switching frequency.

A reduced switch 5-level inverter, namely, the transistor clamped H bridge (TCHB) inverter, has been explored in this work to feed a field-oriented controlled (vector-controlled) PMSM of 3.5 kW rating. As a prelude to this, a 2-level inverter controlled by SVPWM technique is implemented in Simulink/ MATLAB environment, to power a vector-controlled PMSM drive. The performance of the drive under different operating conditions such as starting, steady state operation at different speeds and torques, load perturbation, torque perturbation and speed reversal has been investigated in simulation and validated using a laboratory prototype of the 2-level inverter fed FOC PMSM drive. A simplified methodology, using a DSP and the Embedded coder toolbox from Mathworks, is adopted for the sensor based vector control of a surface mounted PMSM (SPMSM) drive for low values of speeds where saliency based sensorless tracking methods cannot be employed easily. Embedded coder generates the processor specific code in the MATLAB/Simulink platform itself, obviating the need for elaborate DSP programming. It enables easier rotor position and speed measurement using the enhanced quadrature encoder pulse (eQEP) module of the DSP.

A novel reduced switching analysis based SVPWM algorithm has been proposed for any (2^n+1)-level inverter (n=1,2,3 etc. yielding 3,5,9… level inverters) which allows a step wise translation of the space vector diagram (SVD) of the (2^n+1)-level inverter to a basic 2-level by using pivot vectors at ‘n’ different levels. The proposed SVPWM algorithm also elucidates and establishes that the switching combinations of the entire

(2^n+1)-level SVD, with 6^n small hexagons can be derived by investigating the switching combinations of merely a set of 2^n small (2-level) hexagons, thereby reducing the memory requirements for lookup tables and computation time of the processor. The successful implementation of this novel SVPWM algorithm has been demonstrated for 3-level and 5-level NPC and CHB inverter topologies.

This novel SVPWM algorithm is proposed as an improved modulation scheme for the TCHB 5-level inverter feeding a vector-controlled PMSM drive. In addition to simulation results, experimental results obtained from a laboratory prototype of the three phase TCHB inverter, running the SVPWM code using a DSP and Embedded Coder, infer that the drive offers excellent dynamic response, along with a very good steady state response with precise speed and torque outputs.

The TCHB inverter fed PMSM drive is also explored as one of the important powertrain components for electric vehicle (EV) applications. To demonstrate the viability of this inverter- motor duo for EV applications, wide speed operation of the MLI-fed PMSM drive is investigated using the field-weakening control. The response of the drive demonstrates that the proposed SVPWM algorithm helps the TCHB inverter to control the drive effectively and accurately over a wide range of speeds which would allow this drive unit to be used in a light motor vehicle. Further, to exhibit the efficient operation of the TCHB inverter for EV applications, a loss analysis of the TCHB inverter is presented using a simplified model for switching and conduction losses. This MATLAB/Simulink based simplified methodology is also proposed as a generalized methodology for developing the loss model for any MLI topology. From the loss

calculations carried out using this model, it is evident that the TCHB losses are much lower than a 5-level CHB inverter.

Finally, direct torque control (DTC) also has been implemented with a 5-level TCHB inverter fed PMSM drive. Further, an objective comparison of DTC and FOC has been carried out to bring out their relative advantages and disadvantages. In all, this work is an effort to investigate the use of a reduced switch 5-level inverter fed PMSM drive for a light weight EV application where accurate speed control has been achieved for a wide range of speed. Also, to utilize the DC bus effectively, a novel SVPWM algorithm has been proposed, designed, modeled, simulated and implemented in hardware.

सारांश

एडजस्टेबल स्पीड ड्राइव (ए एस डी) औद्योगिक प्रक्रियाओं को अधिक कुशल और नियंत्रणीय बनाने के परिप्रेक्ष्य के साथ उभर रहें हैं। परमानेंट मैगनेट सिन्क्रोनस मोटर (पी एम एस एम) ड्राइव धीरे-धीरे ए एस डी बाजारों की पहली पसंद के रूप में उभर रहे हैं, जो कॉम्पैक्ट रोटर संरचना, उच्च शक्ति घनत्व, रोटर हानियों की अनुपस्थिति, बेहतर दक्षता और उत्कृष्ट नियंत्रणीयता जैसे विविध लाभों के कारण परिवर्तनीय गति वाले इंडक्शन मोटर और डीसी मोटर ड्राइव के साथ प्रतिस्पर्धा कर रहे हैं। उच्च गति माइक्रोप्रोसेसर द्वारा नियंत्रित उच्च शक्ति सेमीकंडक्टर उपकरणों और पावर कन्वर्ट सर्किट के आगमन ने पीएमएसएम ड्राइव को 0.1 किलोवाट से 10 किलोवाट तक कम पावर सर्वो अनुप्रयोगों के लिए एक लंबा रास्ता तय करने और 250 किलोवाट तक उच्च शक्ति अनुप्रयोगों के लिए सक्षम किया है।

फील्ड ओरिएंटेड कंट्रोल और डाइरेक्ट टार्ग कंट्रोल ए सी मोटर ड्राइव में गति और टॉर्क कंट्रोल प्राप्त करने के लिए अपनाई जाने वाली दो महत्वपूर्ण नियंत्रण तकनीकें हैं, जो ज्यादातर 2-स्तरीय वोल्टेज स्रोत इन्वर्टर द्वारा संचालित होती हैं। हालांकि, उच्च शक्ति स्तर पर बिजली उपकरणों में (डीवी/डीटी) तनाव को कम करने और कम स्विचन आवृतियों के साथ भी यथोचित प्रतिक्रिया प्राप्त करने के लिये बहु स्तरीय इन्वर्टर द्वारा चालित मोटर ड्राइव का प्रयोग किया जाता है | न्यूट्रल प्वॉइंट क्लैंप्ड इन्वर्टर (एन पी सी), कैस्केडड एच ब्रिज इन्वर्टर (सी एच बी) और फ्लाइंग कैपेसिटर इन्वर्टर जैसे प्रसिद्ध एमएलआई टोपोलोजी बहुत सारे उपकरणों और एक्टिव और पैसिव तत्वों का उपयोग करते हैं | इस संदर्भ में कम स्विच वाले एम एल आई लागत प्रभावी और अधिक विश्वसनीय होने के कारण पारंपरिक एम एल आई टोपोलोजियों से ज्यादा सराहनीय साबित होते हैं (तत्वों की कम संख्या के कारण)| किसी भी एम एल आई में आउटपुट वोल्टेज के परिमाण और हार्मोनिक सामग्री को नियंत्रित करने के लिए कई मॉड्यूलेशन योजनाएं मौजूद हैं; स्पेस वेक्टर पल्स विड्थ मॉड्यूलेशन (एसवीपीडब्ल्यूएम) बेहतर डीसी बस उपयोग प्रदान करने और कम स्विचिंग आवृत्ति पर भी कम हार्मोनिक सामग्री प्रदान करने के अपने गुण के कारण सबसे वांछनीय है|

इस कार्य में 3.5 किलोवाट रेटिंग के फील्ड ओरिएंटेड कंट्रोल्ड (वेक्टर-कंट्रोल्ड) पीएमएसएम को फीड करने के लिए - ट्रांजिस्टर क्लैंप्ड एच ब्रिज (टीसीएचबी) इन्वर्टर नामक एक कम स्विच वाले 5-लेवल इन्वर्टर का विस्तारपूर्वक विश्लेषण किया गया है। इसकी प्रस्तावना के रूप में पहले एसवीपीडब्ल्यूएम तकनीक द्वारा नियंत्रित 2-स्तरीय इन्वर्टर को सिमुलिंक/मैटलैब वातावरण में लागू किया गया है।विभिन्न ऑपरेटिंग परिस्थितियों में ड्राइव के प्रदर्शन जैसे विभिन्न गति और टॉर्क, लोड क्षोभ, टॉर्क क्षोभ और गति उत्क्रमण की सिमुलेशन में जांच की गई है और 2-स्तरीय इन्वर्टर फेड फील्ड ओरिएंटेड कंट्रोल पीएमएसएम ड्राइव के प्रयोगशाला प्रोटोटाइप का उपयोग करके मान्य किया गया है। एक सरलीकृत पद्धति, एक डीएसपी और मैथवर्क्स से एम्बेडेड कोडर टूलबॉक्स को सरफेस माउंटेड पीएमएसएम (एसपीएमएसएम) ड्राइव के सेंसर आधारित वेक्टर नियंत्रण के लिए अपनाया गया है जहां सेलिएन्सी पर आधारित सेंसरलेस ट्रैकिंग विधियों को आसानी से नियोजित नहीं किया जा सकता है। एम्बेडेड कोडर मैटलैब/सिमुलिंक प्लेटफॉर्म में ही प्रोसेसर विशिष्ट कोड उत्पन्न करता है, जो विस्तृत डीएसपी प्रोग्रामिंग की आवश्यकता को समाप्त करता है। यह डीएसपी के एनहांस्ड क्वाडरेचर एन्कोडर पल्स (ई क्यू ई पी) मॉड्यूल का उपयोग करके आसान रोटर स्थिति और गति माप को सक्षम बनाता है।

इस कार्य में एक कम स्विचिंग विश्लेषण पर आधारित नए एसवीपीडब्ल्यूएम एल्गोरिदम का प्रस्ताव किया गया है जो 'n' विभिन्न स्तरों पर धुरी वैक्टर का उपयोग करके किसी भी (2^n+1) स्तर के इन्वर्टर (n= 1,2,3 आदि जैसे 3,5,9 स्तर) को एक बुनियादी 2-स्तर के इन्वर्टर में अनुवाद करने की अनुमति देता है। प्रस्तावित एसवीपीडब्ल्यूएम एल्गोरिदम यह भी स्पष्ट और स्थापित करता है कि 6n छोटे हेक्सागनों के साथ पूरे (2^n+1) - स्तर के स्पेस वेक्टर डायग्राम (एसवीडी) के स्विचिंग संयोजनों को केवल 2^n छोटे (2-स्तर) हेक्सागनों के स्विचिंग संयोजनों की जांच करके प्राप्त किया जा सकता है, जिससे प्रोसेसर के लुकअप टेबल और गणना समय के लिए कंप्यूटर की मैमोरी आवश्यकताओं को कम किया जा सकता है। इस नए

एसवीपीडब्ल्यूएम एल्गोरिदम के सफल कार्यान्वयन को 3-स्तरीय और 5-स्तरीय एनपीसी और सीएचबी इन्वर्टर टोपोलोजी के लिए प्रदर्शित किया गया है।

इस नए एसवीपीडब्ल्यूएम एल्गोरिदम को 5-स्तरीय टीसीएचबी इन्वर्टर के लिए एक बेहतर मॉड्यूलेशन योजना के रूप में प्रस्तावित किया गया है। सिमुलेशन परिणामों के अलावा, एक डीएसपी और एम्बेडेड कोडर का उपयोग करके एसवीपीडब्ल्यूएम कोड चलाते हुए एक थ्री फेज टीसीएचबी इन्वर्टर के प्रयोगशाला प्रोटोटाइप से प्राप्त प्रयोगात्मक परिणाम सटीक ड्राइव प्रदर्शन, जैसे गति और टार्क आउटपुट, प्रदान करते हैं|

टीसीएचबी इन्वर्टर फेड पीएमएसएम ड्राइव को इलेक्ट्रिक वाहन (ईवी) अनुप्रयोगों के लिए महत्वपूर्ण पावरट्रेन घटकों में से एक के रूप में भी खोजा गया है। ईवी अनुप्रयोगों के लिए इस इन्वर्टर-मोटर जोड़ी की व्यवहार्यता प्रदर्शित करने के लिए, एमएलआई-फेड पीएमएसएम ड्राइव के व्यापक गति संचालन की जांच फील्ड वीकनिंग नियंत्रण से भी की गई है| ड्राइव की प्रतिक्रिया दर्शाता है कि प्रस्तावित एसवीपीडब्ल्यूएम एल्गोरिदम टीसीएचबी इन्वर्टर ड्राइव को प्रभावी ढंग से और सटीक रूप से गति की एक विस्तृत श्रृंखला पर नियंत्रित करने में मदद करता है जो इस ड्राइव इकाई को हल्के मोटर वाहन में उपयोग करने की अनुमति देगा। इसके अलावा, ईवी अनुप्रयोगों के लिए टीसीएचबी इन्वर्टर के कुशल संचालन को प्रदर्शित करने के लिए, टीसीएचबी इन्वर्टर का लॉस विश्लेषण स्विचिंग और कंडक्शन हानियों के लिए एक सरलीकृत मॉडल का उपयोग करके प्रस्तुत किया गया है। यह मैटलैब/सिमुलिंक आधारित सरलीकृत पद्धति भी किसी भी एमएलआई टोपोलॉजी के लिए लॉस मॉडल विकसित करने के लिए एक सामान्यीकृत पद्धति के रूप में प्रस्तावित है । इस मॉडल का उपयोग कर लॉस विश्लेषण से यह स्पष्ट है कि टीसीएचबी इन्वर्टर का नुकसान 5-स्तर के सीएचबी इन्वर्टर की तुलना में बहुत कम हैं।

अंत में, 5-स्तरीय टीसीएचबी इन्वर्टर फेड पीएमएसएम ड्राइव के साथ डायरेक्ट टॉर्क कंट्रोल (डीटीसी) को भी लागू किया गया है। इसके अलावा, डीटीसी और एफओसी की वस्तुनिष्ठ तुलना उनके

सापेक्ष लाभ और नुकसान को सामने लाने के लिए की गई है । कुल मिलाकर, इस कार्य में हल्के वजन वाले ईवी एप्लिकेशन के लिए कम स्विच वाले 5-स्तरीय इन्वर्टर फेड पीएमएसएम ड्राइव के उपयोग की जांच करने का प्रयास है जहां एक विस्तृत रेंज के लिए सटीक गति नियंत्रण हासिल की गई है । इसके अलावा, डीसी बस का प्रभावी ढंग से उपयोग करने के लिए नए एसवीपीडब्ल्यूएम एल्गोरिदम को डिजाइन, मॉडल और सिमुलेट करने के साथ ही हार्डवेयर में भी लागू किया गया है।

TABLE OF CONTENTS

LIST OF FIGURES

LIST OF TABLES

LIST OF ABBREVIATIONS

ASD	Adjustable Speed Drives
BLDC	Brushless DC Motor
CHB	Cascaded H Bridge
DAC	Digital to Analog Converter
dSPACE	Digital Signal Processing and Control Engineering
DSP	Digital Signal Processor
DTC	Direct Torque Control
eQEP	Enhanced Quadrature Encoder Pulse
ePWM	Enhanced Pulse Width Modulation
EMI	Electromagnetic Interference
EV	Electric Vehicle
FOC	Field-Oriented Control
FWC	Field-Weakening Controller
GPIO	General Purpose Input Output
IGBT	Insulated Gate Bipolar Transistor
IPD	In-phase Disposition
IPMSM	Interior Permanent Magnet Synchronous Motor
MATLAB	Matrix Laboratory
MI	Modulation Index
MLI	Multi-level Inverter
MTPA	Maximum Torque Per Ampere
MTPV	Maximum Torque Per Voltage
NEDC	New European Drive Cycle
NPC	Neutral Point-Clamped
NTV	Nearest Three Vector
PI	Proportional-Integral
PMSM	Permanent Magnet Synchronous Motor
PPR	Pulses Per Revolution

PV	Pivot Vector
PV3	Pivot Vector 3-Level
PV2	Pivot Vector 2-Level
PWM	Pulse Width Modulation
RMS	Root Mean Square
RPM	Revolutions per minute
SPMSM	Surface Mounted Permanent Magnet Synchronous Motor
SPWM	Sinusoidal Pulse Width Modulation
SVD	Space Vector Diagram
SV	Space Vector
SVPWM	Space Vector Pulse Width Modulation
TCHB	Transistor Clamped H Bridge
THD	Total Harmonic Distortion
UDC	Urban Driving Cycle
VSI	Voltage Source Inverter

LIST OF SYMBOLS

B	Viscous friction coefficient ($kg \cdot m^{-1} \cdot s^{-1}$)
E_b	Back EMF of motor (V)
E_{on}	Turn 'ON' energy loss for IGBT (mJ)
E_{off}	Turn 'OFF' energy loss for IGBT (mJ)
f_1	Fundamental inverter frequency (Hz)
f_{clk}	DSP system clock frequency (Hz)
f_{ENCD}	Frequency of encoder pulses A/B (Hz)
f_{swt}	Inverter switching frequency (Hz)
I_{max}	Per phase maximum current that can be supplied by an inverter (A)
i_{sd}, i_{sq}	*d-q* axis stator currents (A)
i_{sd}^*, i_{sq}^*	Reference *d-q* axis stator currents (A)
i_s	Instantaneous stator current (A)
J	Motor inertia ($kg\text{-}m^2$)
K_e	Back EMF/Voltage constant of PMSM (Volt/krpm)
K_T	Torque constant of PMSM (Nm/A)
L_s	Stator per phase inductance (H)
N_{QEP}	Speed of a motor obtained from the eQEP module (RPM)
P	Number of poles
R_s	Stator per phase resistance (Ω)
T_e	Electromagnetic torque (Nm)
T_e^*	Reference electromagnetic torque (Nm)
T_L	External load torque (Nm)
T_0	Dwell time of a zero vector in SVPWM
T_1, T_2	Dwell time of active vectors in SVPWM
v_{ao}, v_{bo}, v_{co}	Inverter terminal voltages/Pole voltages (V)
v_{aN}, v_{bN}, v_{cN}	Inverter phase voltages (V)
v_{ab}, v_{bc}, v_{ca}	Inverter line voltages (V)

v_a, v_b, v_c	Instantaneous three-phase sinusoidal voltages (V)
V_c	Peak to Peak amplitude of carrier wave in SPWM
V_{cc}	IGBT collector voltage (V)
v_{FFQ}	*q*-axis feedforward compensating voltage (V)
v_{FFQ}	*d*-axis feedforward compensating voltage (V)
v_{ph}	Load phase voltage (V)
V_m	Peak amplitude of the sinusoidal reference in SPWM
V_{max}	Per phase maximum voltage that can be supplied by an inverter (V)
V_{OFF}	Voltage across IGBT in the 'OFF' state (V)
v_{sd}, v_{sq}	*d-q* axis stator voltages (V)
ω_b	Base speed (rad/sec)
ω_e	Rotor speed (electrical rad/sec)
ω_m	Mechanical rotor speed (rad/sec)
θ_e	Rotor position w.r.t the stator phase 'a' (electrical rad)
δ	Torque angle (rad)
λ_{airgap}	PMSM airgap flux (Webers)
λ_m	Flux linkage of the permanent magnet mounted on the rotor shaft (Volt . sec)
φ_f	Field flux (Webers)